

УДК 579.869.1:579.25

Типирование *Listeria monocytogenes* на основе полиморфизма генов факторов патогенности

Т.И. Карпова¹, Т.Е. Фирсова², Л.В. Родина³, В.М. Котляров²,
И.С. Тартаковский¹, С.А. Ермолаева¹

¹Научно-исследовательский институт эпидемиологии и микробиологии им. Н.Ф. Гамалеи РАМН, Москва, Россия

²Всероссийский научно-исследовательский институт ветеринарной вирусологии и микробиологии РАСХН, Покров, Россия

³Центр государственного санитарно-эпидемиологического надзора г. Москвы, Россия

Методом полимеразной цепной реакции (ПЦР), комбинированной с анализом полиморфизма длины рестрикционных фрагментов (ПЦР–ПДРФ), показано существование штаммоспецифического полиморфизма участка хромосомы *Listeria monocytogenes*, который содержит гены *prfA* и *plcA*, кодирующие факторы патогенности. Полученные данные подтверждают наличие в виде *L. monocytogenes* по крайней мере двух филогенетических линий, существование которых предполагалось рядом авторов на осно-

вании анализа последовательностей других участков генома [1, 4]. Показано преобладание определенного ПЦР–ПДРФ спектра в зависимости от источника выделения штамма (клиника, продукты питания). Установлено также, что штаммы с существенными изменениями в исследуемой области (уменьшение размера фрагмента ПЦР по сравнению с ожидаемым или полное его отсутствие) являются неvirulentными.

Ключевые слова: *Listeria monocytogenes*, полимеразная цепная реакция, рестрикционный анализ.

Typing of *Listeria monocytogenes* on the Basis of Polymorphism of Genes Encoding the Pathogenicity Factors

T.I. Karpova¹, T.E. Firsova², L.V. Rodina³, V.M. Kotlyarov², I.S. Tartakovski¹, S.A. Ermolaeva¹

¹Research Institute of Epidemiology and Microbiology named under N.F. Gamaleya of Russian Academy of Medical Sciences, Moscow, Russia

²Research Institute of Veterinary Virology and Microbiology of Russian Academy of Agricultural Sciences, Pokrov, Russia

³State Center of Epidemiological Control, Moscow, Russia

Polymerase chain reaction (PCR) and restriction fragment length polymorphisms (RFLP) analysis revealed polymorphism of *prfA* and *plcA* genes, encoding the pathogenicity factors in strains of *Listeria monocytogenes*. Phylogenetic analysis confirmed the presence of at least two distinct evo-

lutionary *L. monocytogenes* lines, existing of which was suggested in a number of studies based on analysis of other chromosomal DNA sites [1, 4]. There was shown to be a predominance of certain virulence-associated genes polymorphisms depending on type of sample (hospital environment, foods). The *L. monocytogenes* strains with a large number of sequence differences in this region (smaller than expected size of targeted DNA fragment or its absence) were found to be avirulent.

Key words: *Listeria monocytogenes*, polymerase chain reaction, restriction analysis.

Контактный адрес:

Светлана Александровна Ермолаева

123098, Москва, ул. Гамалеи, 18

НИИЭМ им. Н.Ф. Гамалеи РАМН

Тел: (095) 193-63-71

Факс: (095) 190-74-01

Эл. почта: sveta@ermolaeva.msk.su

Введение

Относящиеся к одному виду патогенные микроорганизмы часто обладают одинаковым набором факторов патогенности, основными биохимическими и геномными характеристиками. Однако потомки различных клонов одного вида обладают определенной вариабельностью на генотипическом и фенотипическом уровнях, которая, с одной стороны, позволяет их различить, а с другой стороны, обуславливает появление хорошо известного феномена штаммоспецифических различий вирулентности, описанного для широкого спектра бактериальных патогенов [1, 2].

Этиологическим агентом листериоза является грамположительная бактерия *Listeria monocytogenes*, которая может служить примером эпидемиологической связи вирулентности с определенными клональными линиями. Так, более 90% штаммов *L. monocytogenes*, изолированных при спорадических случаях листериоза, принадлежат всего к 3 серогруппам из 9 существующих – 1/2a, 1/2b и 4b [3].

Более того, подавляющее большинство штаммов, ставших причиной крупных эпидемических вспышек, формируют очень узкую группу, характеризующуюся принадлежностью к серогруппе 4b и всего к 2 риботипам из 23 выявленных к настоящему времени [4].

Таким образом, очевидно, что некоторые клональные линии *L. monocytogenes* обладают повышенным тропизмом по отношению к человеку, и их выявление и идентификация, в частности в продуктах питания, которые являются основным фактором передачи листериоза, имеет важное эпидемиологическое значение.

Среди современных методов дифференциации бактериальных штаммов большое распространение получили *методы рестрикционного анализа последовательности ДНК*, основанные на чувствительности рестриктаз, ферментов, расщепляющих ДНК в местах с определенной последовательностью нуклеотидов, к единичным нуклеотидным заменам в узнаваемой последовательности.

Полное расщепление анализируемой ДНК отдельными рестриктазами приводит к образованию определенного набора фрагментов, число и размер которых соответствуют положению последовательностей, узнаваемых этими рестриктазами (сайтов рестрикции). Любая мутация, изменяющая последовательность нуклеотидов сайта рестрикции, уничтожает этот сайт, что приводит к полиморфизму длины рестрикционных фрагментов. Этот метод детекции мутаций в геномной ДНК получил название метода *полиморфизма длины рестрикционных*

фрагментов (ПДРФ) – *restriction fragments length polymorphism* (RFLP).

Комбинирование ПДРФ с *полимеразной цепной реакцией* (ПЦР) позволяет судить о полиморфизме определенных участков генома, в том числе важных для вирулентности [5, 6].

Гены, кодирующие основные факторы патогенности *L. monocytogenes*, образуют кластер, так называемый «островок патогенности», размером около 10 тыс. пар нуклеотидов на хромосомной ДНК, последовательность которой недавно определена для штамма EGD [7].

Важнейшую роль в вирулентности листерий играет белок PrfA, необходимый для экспрессии всех остальных факторов патогенности [8]. Ген *prfA* расположен на «островке патогенности» рядом с геном *plcA*, кодирующим фосфолипазу PI-PLC – секретруемый фактор патогенности. В данной работе область гена *prfA* выбрана в качестве мишени для ПЦР–ПДРФ-анализа для оценки возможности его использования при дифференциации штаммов *L. monocytogenes*.

Материал и методы исследования

Использованные штаммы и условия их культивирования

В работе использованы 30 штаммов *L. monocytogenes* (см. таблицу). Ряд из них принадлежит к типовым коллекциям, остальные выделены из указанных источников и ранее описаны в цитируемых работах.

Листерии культивировали на агаризованной или в жидкой среде *Brain Heart Infusion* – ВНИ (Difco Lab., Inc, USA) при температуре 37°C.

Подготовка образцов и проведение ПЦР

Образцы подготавливали, как описано нами ранее [12], за исключением того, что предшествующую лизису ферментативную обработку бактериальных клеточных стенок осуществляли в присутствии 0,2 мг/мл лизоцима в течение 1 ч. ПЦР проводили в буфере, поставляемом с Taq-полимеразой (Бионем, Россия), в присутствии 1,5 мМ MgCl₂ и 250 мкМ дНТФ с праймерами Lmp3: 5'-ACAT-TTGTCACTGCATCTCCG, Lmp4: 5'-CATGTT-GTTCGCACCCAGTTC в термоциклере «Терцик» (ДНК-технология, Россия) по программе быстрого регулирования при температуре 94°C – 2 мин; затем 5 циклов при температуре 94°C – 20 с, 60°C – 20 с, 72°C – 20 с и 30 циклов при температуре 94°C – 5 с, 60°C – 5 с, 72°C – 5 с.

Концентрацию ампликонов проверяли путем электрофореза аликвоты на агарозном геле.

Таблица 1. Штаммы *Listeria monocytogenes*, использованные в исследовании

№	Штамм	Серогруппа, источник выделения	ПЦР–ПДРФ тип	Ссылка
1	EGD ^a	1/2a	A	Типовая коллекция
2	CLIP 75936	1/2a	A	Типовая коллекция
3	PAM 79	1/2a, окружающая среда	– ^b	[9]
4	SLCC 2755	1/2b	B	Типовая коллекция
5	PAM 62	1/2b, продукты питания	B1	[9]
6	NCTC 5105	3a	A	Типовая коллекция
7	SLCC 2540	3b	B	»
8	NCTC 10528	4ab	– ^b	»
9	NCTC 10527	4b	B	»
10	P14	4b, клинический	B	[10]
11	NCTC 10888	4d	B	Типовая коллекция
12	PL 4082	4b	B	[9]
13	GIM 16 ^r	Продукты питания	B	[9]
14	GIM 87	»	A	[9]
15	GIM 88	»	A	[9]
16	GIM 90	»	A	[9]
17	GIM 91	»	A	[9]
18	GIM 92	»	A	[9]
19	GIM 98 (20)	»	A	[9]
20	GIM 114 (26)	»	A	[9]
21	GIM 114 (31)	»	A	[9]
22	GIM 129 (3)	»	A	[9]
23	GIM 132 (5)	»	C	[9]
24	GIM 136 (3)	»	B	[9]
25	31-T	»	B	[11]
26	24-T	»	A	[11]
27	35-T	»	A	[11]
28	74-T	»	A	[11]
29	56-T	»	B	[11]
30	GIM 1300	Клинический	B	[10]

^a Штаммы 1–11-й любезно предоставлены Dr. J.A. Vazquez-Boland, University of Bristol, Великобритания.

^b Штаммы 12–30-й – из коллекции лаборатории легионеллеза НИИЭМ им. Н.Ф. Гамалеи РАМН, Россия.

^c Продукт ПЦР размером 1500 н. п. (пояснения в тексте).

^r ПЦР с использованными праймерами не дала продукта (пояснения в тексте).

Проведение рестрикционного анализа

В работе использовали рестриктазы Hind III, Cla I, BamH I, EcoR I производства «Fermentas» (Литва). Полученные в ПЦР ампликоны переосажидали следующим образом: к 50 мкл продукта ПЦР добавляли 50 мкл дистиллированной воды, 90 мкл 20% ПЭГ 6000 – 2,5 М NaCl, тщательно перемешивали, инкубировали 10 мин при температуре 37°C и осаждали ДНК центрифугированием в микроцентрифуге CM-50 (Elmi, Латвия) при максимальных оборотах в течение 3 мин. Осадок промывали 70% этанолом, просушивали и растворяли в 10–40 мкл дистиллированной воды в зависимости от концентрации ампликона.

Рестрикцию проводили в объеме 20 мкл в течение 2 ч в условиях, рекомендованных производителем.

Секвенирование

Для секвенирования использовали праймеры Prf1 – 5'-TCAACTAACATATATTCC, Prf2 – 5'-CATCGGTTGGCTATTATAAT, Prf3 – 5'-CTAGGCTGTATGAAACTTG, Prf4 – 5'-CTTGGTGAAGCAATCGTACGC, Plc3 – 5'-GGAGCATACTGACGAGGTGTG.

Секвенирование проводили в Центре коллективного пользования «Геном». Сравнение последовательностей и анализ присутствия сайтов рестрикции осуществляли с помощью программ PCGene

6.70, IntelliGenetics Inc. и Clone Manager 2.1, Scientific and Educational Software.

Исходную последовательность использованного района листериозной хромосомы получили из базы данных генома штамма EGD, находящейся в Институте Пастера, Франция (<http://www.pasteur.fr>).

Оценка вирулентности

Качественную оценку вирулентности проводили по результатам конъюнктивной пробы на морских свинках.

Культуру листерий, выросшую на агаризованной среде в течение 12 ч, смывали стерильным физиологическим раствором и доводили концентрацию до 10^9 КОЕ/мл путем сравнения с соответствующим стандартом мутности (ГИСК им. Л.А. Тарасевича) и последующим титрованием на питательной среде. На конъюнктиву глаза морской свинки наносили 2 капли суспензии, после чего производили легкий массаж век ватным тампоном. Пробу с каждым штаммом ставили на 2 морских свинках, за которыми наблюдали в течение месяца.

Количественную оценку вирулентности осуществляли путем заражения 5–7-дневных куриных эмбрионов. Заражали 10-кратными разведениями в стерильном физиологическом растворе испытуемого штамма, выращенного в течение ночи на агаризованной среде. На каждое разведение использовали 4 эмбриона.

В аллантоисную полость вводили 0,2 мл взвеси бактерий, после чего эмбрионы инкубировали при температуре 37°C в течение 24 ч. В качестве контроля вводили стерильный физиологический раствор. Титр определяли по методу Кербера [13].

Результаты исследования

Анализ штаммов *L. monocytogenes* в ПЦР

Использованные праймеры Lmp3 и Lmp4 направляли синтез фрагмента хромосомы *L. monocytogenes*, содержащего гены *prfA* и *plcA*, кодирующие регуляторный белок PrfA и фосфолипазу PI-PLC, и

фрагмента гена *hly*, кодирующего листериолизин О (рис. 1).

Согласно компьютерному анализу, последовательности хромосомы штамма EGD, относящегося к серогруппе 1/2a, ожидали получить фрагмент длиной 2862 *нуклеотидных пар* (н.п.) Скрининг имеющейся у нас коллекции штаммов показал присутствие этого фрагмента после проведения ПЦР на лизатах всех штаммов, за исключением двух (рис. 2).

ПЦР с лизатом штамма РАМ 79 (серогруппа 1/2a) приводила к появлению укороченного продукта размером около 1500 н.п.

С лизатом штамма NCTC 10528 (серогруппа 4ab) ПЦР не давала продукта. С целью устранения возможных причин, связанных с наличием ингибирующих примесей в лизате, из этого штамма была выделена ДНК. Однако использование очищенной ДНК не привело к появлению продукта в ПЦР. РАМ 79 и NCTC 10528 были исключены из рестрикционного анализа и использовались в дальнейшем только для определения вирулентности.

Рестрикционный анализ фрагмента, полученного в ПЦР

Проведено фрагментирование продуктов ПЦР рестриктазами EcoR I, BamH I, Cla I и Hind III, наличие сайтов рестрикции для которых было показано компьютерным анализом последовательности штамма EGD (рис. 1).

При использовании рестриктаз EcoR I и BamH I рестрикция продуктов ПЦР всех штаммов приводила к появлению ожидаемых фрагментов размерами 1743, 939 и 980, 862, 840 н.п. соответственно (рис. 3).

Однако при использовании рестриктазы Cla I штаммы разделились на 2 группы – А и В (рис. 4, табл. 1).

К группе А отнесли штаммы, которые демонстрировали тот же спектр фрагментов, что и штамм EGD, а именно 3 фрагмента массой 1874, 733 и 75 н.п., последний из которых был виден только на полиакриламидном геле.

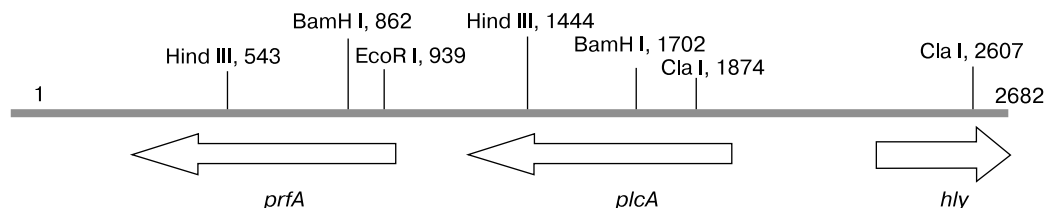


Рис. 1. Фрагмент хромосомы *L. monocytogenes*, амплифицируемый в ходе ПЦР с праймерами Lmp3 – Lmp4. Указаны положение и направление считывания генов *prfA*, *plcA* и *hly*. Положение сайтов рестрикции указано на основании компьютерного анализа последовательности штамма EGD [7]

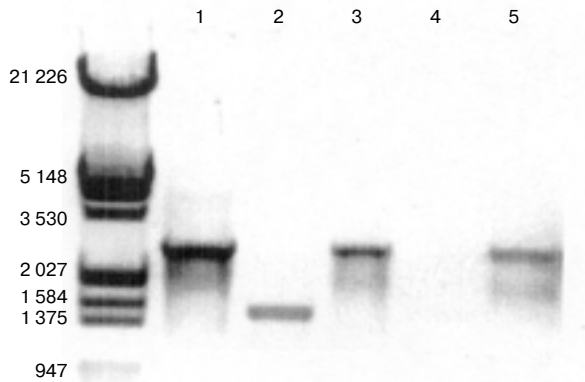


Рис. 2. Ампликоны, полученные в результате ПЦР с праймерами Lmp3 – Lmp4 (фрагмент Lmp3 – Lmp4), на лизатах штаммов: 1 – EGD, 2 – PAM 79, 3 – NCTC 10527, 4 – NCTC 10528, 5 – PAM 62. Слева указаны размеры фрагментов маркерной ДНК в н. п.

Штаммы группы В имели отличный спектр, содержащий 4 полосы, по-видимому, из-за дополнительного сайта рестрикции, разбивавшего полосу размером 1874 н. п. на 2 с приблизительными размерами 1150 и 700 н. п., вычисленными на основе сравнения с маркерной ДНК.

Таким образом, штаммы группы В имели в спектре 4 полосы размерами порядка 1150, 700, 733 и 85 н. п., из которых (733 и 700 н. п.) из-за практически одинакового размера при электрофорезе сливались в одну.

При фрагментировании рестриктазой Hind III штаммы групп А и В демонстрировали отличающиеся спектры.

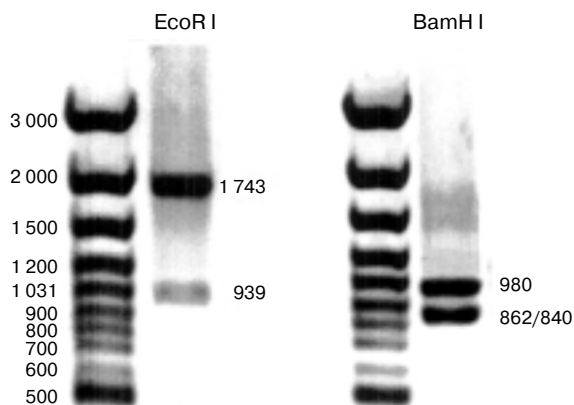


Рис. 3. Профили рестрикции фрагмента Lmp3 – Lmp4 рестриктазами EcoR I и BamH I. Левые дорожки – маркерная ДНК, размеры фрагментов указаны в н. п.

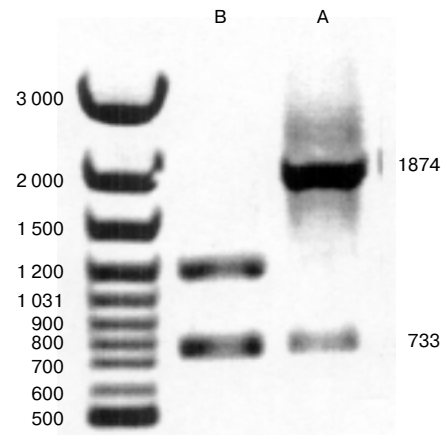


Рис. 4. Штаммоспецифический полиморфизм фрагмента Lmp3 – Lmp4 при рестрикции Cla I. Принадлежность штаммов к группам А или В указана в табл. 1. Слева приведены размеры фрагментов маркерной ДНК (в н. п.), справа – размеры фрагментов штаммов группы А, вычисленные по опубликованной последовательности штамма EGD

Штаммы группы А имели в спектре, вычисленном на основе последовательности штамма EGD, 3 полосы размерами 1238, 901 и 543 н. п. Штаммы группы В имели полосу, совпадавшую по размеру с самой тяжелой полосой 1238 н. п., и, кроме нее, 2 фрагмента с приблизительными размерами 800 и 650 н. п. (рис. 5).

Среди штаммов группы В был выделен еще один подтип, отличающийся исчезновением полос молекулярной массой 1238 и 800 н. п., видимо, в результате потери сайта рестрикции, поскольку отсутствие этих полос сопровождалось появлением полосы массой около 1850 н. п. Этот подтип обозначили как группу В1.

Определение сайтов изменчивости у полученных групп

Проведено частичное секвенирование фрагментов ПЦР штаммов NCTC 10527 и GIM 132 (5), принадлежащих к группам В и В1 соответственно. У обоих штаммов обнаружили ряд нуклеотидных замен по сравнению с последовательностью штамма EGD, в том числе нуклеотидные замены, приводящие к изменению сайтов рестрикции: А→G в положении 530 от начала фрагмента, А→G в положении 728 и G→A в положении 806 (рис. 6).

У штамма GIM 132 (5) нашли замену С→А в положении 1448, которая картируется в последовательности гена *plcA* (рис. 1, 6).

Замены в положениях 728 и 806 приводили к возникновению последовательностей, узнаваемых рестриктазами Cla I и Hind III соответственно, а за-

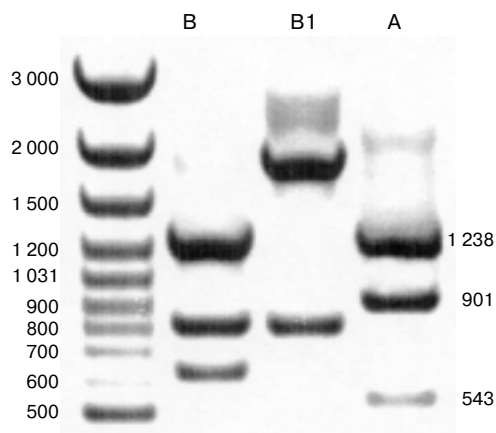


Рис. 5. Штаммоспецифический полиморфизм фрагмента *Lmp3* – *Lmp4* при рестрикции *Hind* III. Внутри группы В выделена группа В1 (пояснения в тексте). Слева указаны размеры фрагментов маркерной ДНК (в н. п.), справа – размеры фрагментов штаммов группы А, вычисленные по опубликованной последовательности штамма EGD

мены в положениях 530 у обоих штаммов и 1448 у штамма GIM 132 (5) – наоборот, к исчезновению последовательности, узнаваемой рестриктазой *Hind* III.

Итак, секвенирование штаммов NCTC 10527 и GIM 132 (5) позволило создать для типов В и В1 рестриктные карты, отличавшиеся от штамма EGD положением *Hind* III сайтов и наличием дополнительного сайта для *Cla* I (рис. 6).

Определение вирулентности штаммов, принадлежащих к разным группам, на основе полиморфизма генов *prfA*–*plcA*

Штаммы делили на вирулентные и невирулентные на основании результатов конъюнктивной пробы на морских свинках. Для этого опыта были выбраны штаммы: из группы А – NCTC 5105, из группы В – SLCC 2540 (серогруппа 3b) и PL 4082 (серогруппа 4b), из группы В1 – PAM 62 (серогруппа 1/2b). В анализ также был включен штамм PAM 79, дающий укороченный фрагмент в ПЦР с праймерами *Lmp3*–*Lmp4*, и штамм NCTC 10528, не дающий фрагмента в ПЦР с этими праймерами.

Штаммы NCTC 5105, PL 4082 и PAM 62 на 3-й день вызвали местный воспалительный процесс в виде гнойного кератоконъюнктивита, прекратившегося на 10-й день, после которого наблюдалось помутнение роговицы в течение месяца (срок наблюдения). Штаммы PAM 79 и NCTC 10528 не вызывали видимых изменений у подопытных животных.

Таким образом, штаммы PAM 79 и NCTC 10528 являлись невирулентными.

Для количественной оценки вирулентности

штаммов SLCC 2540 и PL 4082, относящихся к группе В, и PAM 62, относящегося к группе В1, использовали модель куриных эмбрионов, наиболее чувствительной из всех использованных. Заражение дозами, превышавшими 10 бактериальных клеток, приводило к 100% летальности для штамма PL 4082.

При оценке LD_{50} на этой модели получены следующие результаты: для штамма SLCC 2540, относящегося к серогруппе 3b, LD_{50} составила 10 КОЕ, для штамма PL 4082, принадлежащего к серогруппе 4b, – 1 КОЕ, для штамма PAM 62, принадлежащего к серогруппе 1/2b, – 18 КОЕ.

Обсуждение результатов исследования

Исследование показало существование штаммоспецифического полиморфизма участка хромосомы *L. monocytogenes*, содержащего гены *prfA* и *plcA*. Рестрикторный анализ полученного в ПЦР фрагмента, содержавшего эти гены, позволил разбить штаммы на 2 группы – А и В.

Штаммы, относящиеся к группе А, обладали рестрикторным спектром, аналогичным таковому у типового штамма EGD, геномная последовательность которого полностью определена [7].

Штаммы группы В отличались наличием дополнительного сайта узнавания для рестриктазы *Cla* I и появлением нового *Hind* III сайта, сопровождаемого исчезновением другого.

Все эти изменения были связаны с «молчащими» единичными нуклеотидными заменами в последовательности гена *prfA*, не приводящими к аминокислотным заменам в белковом продукте. Кроме того, в группе В была выявлена подгруппа, обозначенная В1, характеризующаяся исчезновением *Hind* III сайта также вследствие единичной нуклеотидной замены, произошедшей в последовательности гена *plcA*. Это изменение нуклеотидной последовательности приводит к аминокислотной замене Ala247Ser в С-концевой части фосфолипазы PI-PLC, кодируемой этим геном. С-концевая область листериозной фосфолипазы является наименее консервативной по отношению к гомологичным белкам грамположительных бактерий *Bacillus cereus* и *B. thuringiensis*, а также эукариотическим PI-PLC [14].

Прослежена связь между ПЦР–ПДФ-типом и принадлежностью к серогруппе. К группе А относились штаммы, принадлежавшие к серогруппам 1/2a и 3a, к группам В и В1 – штаммы, принадлежавшие к серогруппам 1/2b, 3b, 4b и 4d.

В последнее время опубликованы работы, в которых методами риботипирования, мультилокус-

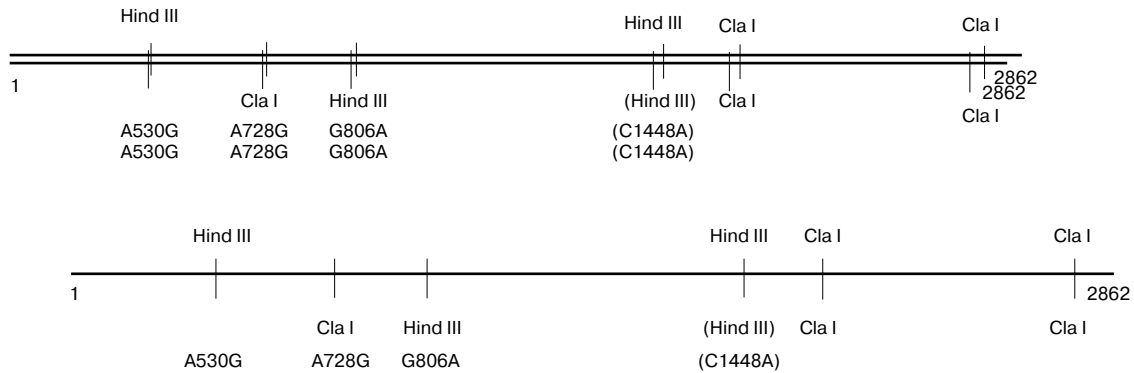


Рис. 6. Расположение Cla I и Hind III сайтов рестрикции в зависимости от принадлежности к группе А (сайты указаны над чертой) или к группе В (сайты указаны под чертой). В нижней части приведены нуклеотидные замены у штаммов группы В, приводящие к изменению положения сайтов рестрикции. В скобках указана замена, приводящая к исчезновению Hind III сайта у штаммов подгруппы В1

ного ферментного анализа и гель-электрофореза в переменном поле показано наличие в виде *L. monocytogenes* 3 филогенетических линий, каждая из которых объединяет штаммы, принадлежащие к определенным серогруппам.

К первой линии относятся штаммы, принадлежащие к серогруппам типа а и с, ко второй – b и d, к третьей – 4а, серогруппа, занимающая уникальную позицию [4, 6].

Полученные результаты показывают связь между принадлежностью штамма к определенной филогенетической линии и нуклеотидной последовательностью центрального регуляторного элемента системы генов патогенности *prfA*. Штаммы, отнесенные по ПЦР–ПДРФ-спектру к группе А, принадлежат, по-видимому, к первой филогенетической линии, относящиеся к типам В и В1 – ко второй филогенетической линии.

Характерная принадлежность определенных аллелей к той или иной филогенетической линии также показана для генов, кодирующих листеролизин О, интерналин и белок Р60 – факторы патогенности листерий, необходимые в процессе внутриклеточного паразитизма [6]. Анализ этих данных свидетельствует об отсутствии горизонтального переноса генов между клональными линиями *L. monocytogenes*.

В нашем распоряжении был всего один штамм, относившийся к третьей филогенетической линии, – NCTC 10528 (серогруппа 4ab). Однако именно с этим штаммом нам не удалось получить продукта в ПЦР, что, по-видимому, связано с существенными изменениями в исследуемой области. Согласно данным по риботипированию и секвенированию 16S РНК, представители этой линии составляют изолированную группу в составе вида

L. monocytogenes, и некоторые исследователи предлагают выделить ее в отдельный подвид [4].

Некоторые важные фенотипические характеристики листериозных штаммов, такие, как вирулентность или тропизм к той или иной экологической нише, коррелируют с той или иной филогенетической линией.

Так, представители первой филогенетической линии наиболее часто выделяются из продуктов питания. В то же время подавляющее большинство случаев листериоза у людей связано с представителями второй филогенетической линии. Заболевания животных практически в равной степени связаны с представителями всех трех линий, однако представители третьей филогенетической линии ни разу не были документированы как возбудители инфекции у человека [4, 15].

Из исследованных нами штаммов 18 были выделены из продуктов питания, из них 12 имели ПЦР–ПДРФ-спектр типа А и, следовательно, относились к первой филогенетической линии *L. monocytogenes*. Ко второй линии были отнесены 6 штаммов, поскольку имели ПЦР–ПДРФ-спектр типа В, причем у 2 из них выявлен спектр подтипа В1, который не обнаружен у штаммов из других источников. Оба исследованных штамма клинического происхождения имели спектр типа В и отнесены ко второй филогенетической линии.

При оценке вирулентности на качественном уровне не выявлено существенных отличий как среди представителей второй филогенетической линии, так и между представителями первой и второй линий. При дополнительном исследовании вирулентности на модели куриных эмбрионов обнаружена в 10 раз более низкая 50% летальная доза заражения представителем серогруппы 4b, чем с

представителями других серогрупп, относившихся ко второй филогенетической линии. Именно представители серогруппы 4b наиболее опасны для человека, так как практически все крупные эпидемические вспышки листериоза, связанные с употреблением контаминированных продуктов питания, обусловлены штаммами этой серогруппы [3, 15].

Интересно отметить, что при параллельном определении вирулентности на новорожденных мышцах нами не выявлено различий между представителями различных серогрупп (данные не приведены). Вероятно, куриные эмбрионы являются более чувствительной и специфической моделью при оценке вирулентности штаммов *L. monocytogenes*.

Изучение вирулентности показало также, что штаммы с существенными изменениями в исследуемой области – уменьшение размера исследуемого фрагмента по сравнению с ожидаемым или полное его отсутствие – являются неvirulentными. Очевидно, это связано с той важной ролью, которую играют продукты генов *prfA* и *plcA* в вирулентности *L. monocytogenes*.

Делеция гена *prfA* приводит к потере вирулентности, что объясняется незаменимостью продукта этого гена для экспрессии практически всех факторов патогенности [8]. К этим факторам принадлежит и продукт гена *plcA*, фосфолипаза PI-PLC, являющаяся секретруемым белком, необходимым для жизнедеятельности листерий внутри эукариотической клетки – необходимого этапа инфекционного процесса [14].

Таким образом, использованная нами система рестрикционного анализа фрагмента хромосомной ДНК *L. monocytogenes* позволяет судить о принадлежности выделенного штамма к определенной филогенетической линии, а отсутствие или существенное уменьшение размера продукта с большой степенью вероятности свидетельствует о непатогенности штамма.

Благодарность. Работа поддержана INTAS (грант 2000-471) и РФФИ (грант 02-04-49506). Авторы благодарят за поддержку Региональный общественный фонд содействия отечественной медицине.

Литература

- Piffaretti J.C., Kressebuch H., Aeschbacher M., et al. Genetic characterization of clones of the bacterium *Listeria monocytogenes* causing epidemic disease. Proc Natl Acad Sci USA 1989;86:3818-22.
- Quentin R., Huet H., Wang F.S., et al. Characterization of *Streptococcus agalactiae* strains by multilocus enzyme genotyping and serotyping: identification of multiple virulent clones that cause invasive neonatal disease. J Clin Microbiol 1995; 33:2576-81.
- Тартаковский И.С., Малеев В.В., Ермолаева С.А. Листерии: роль в инфекционной патологии человека и лабораторная диагностика. М.: Медицина для всех; 2002.
- Wiedmann M., Bruce J.L., Keating C., et al. Ribotypes and virulence gene polymorphisms suggest three distinct *Listeria monocytogenes* lineages with differences in pathogenic potential. Infect Immun 1997; 65:2707-16.
- Vines A., Reeves M.W., Hunter S., Swaminathan B. Restriction fragment length polymorphism in four virulence-associated genes of *Listeria monocytogenes*. Res Microbiol 1992;143:281-94.
- Rasmussen O.F., Skouboe P., Dons L., et al. *Listeria monocytogenes* exists in at least three evolutionary lines: evidence from flagellin, invasive associated protein and listeriolysin O genes. Microbiology 1995;141:2053-61.
- Glaser P., Frangeul L., Buchrieser C., et al. Comparative genomics of *Listeria* species. Science 2001;294:849-52.
- Chakraborty T., Leimeister-Wachter M., Domann E., et al. Coordinate regulation of virulence genes in *Listeria monocytogenes* requires the product of the *prfA* gene. J Bacteriol 1992;174:568-74.
- Ermolaeva S., Karpova T., Novella S., et al. A simple method for the differentiation of *Listeria monocytogenes* based on induction of lecithinase activity by charcoal. Int J Food Microbiol 2003;82:87-94.
- Ripio, M.T., Dominguez-Bernal G., Suarez M., et al. Transcriptional activation of virulence genes in wild-type strains of *Listeria monocytogenes* in response to a change in the extracellular medium composition. Res Microbiol 1996;147:371-84.
- Тартаковский И.С., Карпова Т.И., Попова Т.А. и др. Оценка эффективности новых методов идентификации листерий при исследовании продуктов питания в Тульской области. Тез. докл. науч.-практ. конф., посвященной 55-летию сотрудничества ММА им. И.М. Сеченова и здравоохранения Тульской обл.; 2002. с. 300-1.
- Карпова Т.И., Ермолаева С.А., Лопырев И.В. и др. Новые методы идентификации *Listeria monocytogenes*. Клин микробиол антимикроб химиотер 2001;3:266-73.
- Лабинская А.С. Микробиология с техникой микробиологических исследований. М.: Медицина; 1972.
- Mengaud J., Braun-Breton C., Cossart P. Identification of phosphatidylinositol-specific phospholipase C activity in *Listeria monocytogenes*: a novel type of virulence factor? Mol Microbiol 1991;5:367-72.
- Farber J.M., Peterkin P.I. *Listeria monocytogenes*, a food borne parasite. Microbiol Rev 1991;55:476-511.